

العلاقة بين الكثافة والقابلية المغناطيسية والتركيب الكيميائي في صخور الفونولait والتراكايت بجبل كاف ابوغنوش في منطقة غريان بشمال غرب ليببيا

غريان بشمال غرب ليببيا

د.النوري المبروك رمضان¹، أ.عماد يوسف الاشخم²، د.محمد راشد إمباشي³

¹ قسم الجيولوجيا - كلية العلوم- جامعة الزاوية.

^{2,3} قسم الهندسة الجيولوجية- كلية هندسة النفط والغاز - جامعة الزاوية.

ملخص:

أجريت هذه الدراسة لتحديد دراسة العلاقة بين الكثافة والقابلية المغناطيسية والتركيب الكيميائي لصخور الفونولait والتراكايت بجبل كاف ابوغنوش في منطقة غريان بشمال غرب ليببيا. أكدت الدراسة بوجود علاقة طردية قوية بين المغناطيسية والكثافة في جميع أنواع الصخور الخاضعة

للدراسة، حيث تراوحت قيمة معامل الارتباط من 0.6 إلى 0.9. وكذلك علاقة طردية قوية بين الأكاسيد الكيميائية (الحديديك Fe_2O_3 ، والماغنيسيوم MgO ، والفسفور P_2O_5 ، والكلاسيوم CaO)، وكلا من الكثافة والقابلية المغناطيسية، حيث تتراوح قيمة معامل الارتباط من +0.5 إلى +0.9+. كما أثبتت الدراسة بوجود علاقة عكسية قوية بين الأكاسيد الكيميائية (السليكون SiO_2 والصوديوم Na_2O والبوتاسيوم K_2O) وكلا من الكثافة والقابلية المغناطيسية، حيث تتراوح قيمة معامل الارتباط ما بين -0.5 إلى -0.9.

أكدت هذه الدراسة أن العلاقة القوية بين التركيب الكيميائي والخواص البتروفيزيائية (القابلية المغناطيسية والكثافة) للصخور الثلاثة يمكن أن تساعد في تصنيف (أو تقسيم أو تمييز) صخور التراكايت والفونولait في منطقة الدراسة. كما تم الحصول على معادلات الانحدار Regression equations، التي من خلالها يمكن معرفة (أو التنبؤ) قيمة تركيز بعض الأكاسيد الكيميائية بمعلومية القابلية المغناطيسية أو الكثافة بنسبة احتمال تصل إلى 95%.

مقدمة:

تعتبر خاصيتي القابلية المغناطيسية Magnetic Susceptibility والكثافة Density من أهم الخواص البتروفيزيائية المستعملة لدراسة صخور طبقات القشرة الأرضية، وتعرف القابلية المغناطيسية بقدرة المادة على التمغناط (المغناطة) تحت تأثير مجال مغناطيسي خارجي ^(3,2,1). و يعبر عنها رياضيا بالمعادلة الآتية:

$$K = \frac{M}{H}$$

حيث أن:

- القابلية المغناطيسية (Magnetic Susceptibility)، وهي مقدار لا وحدة له.

M-شدة التمغناط (المغناطة) (Intensity of Magnetization)، ووحدتها أمبير/متر A/m.

H-شدة المجال المغناطيسي الخارجي (Intensity of Magnetic Field)، ووحدتها
أمير/متر A/m.

توقف القابلية المغناطيسية بشكل رئيسي على نوعية وكمية المعادن الحديدية المغناطيسية مثل المجناتيات Magnetite والهيماتايت Hematite والآلمنيايت Ilmenite والنيتان مجناتيات (6,5,4). Titano-magnetite

الكثافة Density هي عبارة عن نسبة وحدة الكتلة إلى وحدة الحجم ويعبر عنها رياضياً بالمعادلة الآتية:

$$\delta = \frac{m}{V}$$

حيث أن :

- الكثافة (جم/سم³)

- الكتلة (جم)

- الحجم (سم³)

ومن المعروف أن كثافة الصخور تتوقف على كثافة المعادن المكونة لها، حيث تترواح كثافة المعادن المكونة للصخور النارية من 2.14 جم/سم³ إلى 3.40 جم/سم³، وكثافة المعدن تتوقف على التركيب الكيميائي ونوعية البنية البلورية (9,8,7).

وفي هذا الصدد أثبت العديد من الباحثين ومن بينهم (Aydini, 2007) أن كل من القابلية المغناطيسية و الكثافة تتوقف على التركيب الكيميائي والمعدني للصخور⁽¹⁰⁾.

الهدف من الدراسة

يهدف هذا البحث لدراسة علاقة التركيب الكيميائي بالكثافة Density والقابلية المغناطيسية Magnetic Susceptibility في صخور الفونولait والتراكايت بجبل كاف ابوغنوش في منطقة غريان بشمال غرب ليبيا، حيث تعتبر هذه الدراسة المتواضعة الأولى من نوعها لهذا الموضوع في المنطقة.

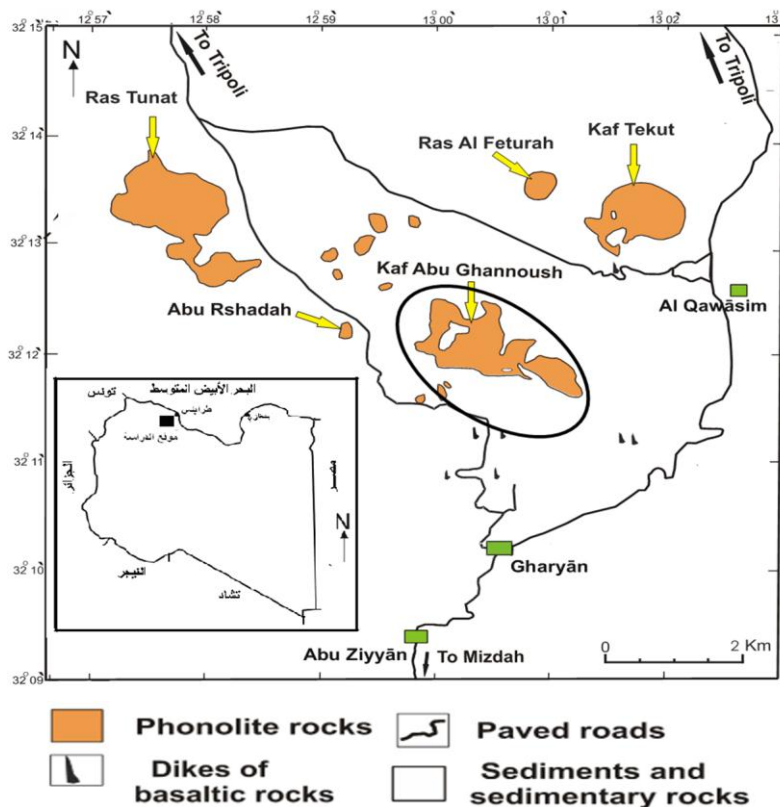
جمع العينات وطريقة القياس

تم تجميع عدد (25) عينة مختلفة من صخور الفونولait والتراكايت، من قبل (الاشم، 2013)، وأجريت التحاليل الكيميائية بمعامل جامعة ادنبره في بريطانيا وذلك بطريقة XFR. تمت عملية قياس الكثافة و القابلية المغناطيسية في معامل قسم الهندسة الجيولوجية - كلية هندسة النفط والغاز بجامعة الزاوية باستخدام جهاز (MS 2) Magnetic Susceptibility Meter، حيث كانت وحدة قياس الكثافة جم/سم³، ووحدة قياس التأثيرية المغناطيسية في النظام العالمي SI.

جيولوجية منطقة الدراسة

تقع منطقة كاف ابوغنوش وبالتحديد في ما يسمى بقبة غريان في الشمال الغربي من ليبيا (شكل 1). يمثل كاف أبوغنوش Kaf Abu Ghannoush كتلة صخرية نارية غير متجانسة وغير منتظمة الشكل، وبعمر يقدر بحوالي 40 مليون سنة. يعتبر كاف أبوغنوش من اكبر الأجسام النارية الواقعة شمال مدينة غريان، حيث يبلغ امتداده من الشرق إلى الغرب حوالي 2.5 كيلومتر، وامتداده من الشمال إلى الجنوب ما يقارب 1.25 كيلومتر، ويرتفع على مستوى سطح البحر بحوالي 634 متر. تتوضع صخور كاف أبوغنوش كباقي صخور الفونولait والتراكايت بمنطقة غريان على هيئه أجسام نارية منفصلة ذات مظهر قبابي نتيجة لارتفاع نسبة الزوجة فيها (13,12,11).

صخور الفونولait بنوعيه الناعم والبروفيري وصخور التراكايت هي تركيبه كاف أبو غنوش الصخرية الأساسية، ويتوسط الفونولait الناعم في الكتلة الرئيسية في المنتصف بينما يكتشف الفونولait البورفيري في الكتلتين الصخريتين الجانبيتين (الجزء الجنوبي الشرقي والجزء الشمالي الغربي)، أما صخور التراكايت فهي تكتشف في أماكن محدودة جنوب منطقة الدراسة.



شكل (1): الموقع الجغرافي والخريطة الجيولوجية لمنطقة الدراسة، (Gray, C., 1971)

التركيب المعدني والكيميائي

ت تكون صخور الفونولait والتراكايت أساساً من معادن الفلدسبار البوتاسي (ساندين Anorthoclase) وأنورثوكليز Sanidine والبيروكسين القلوي (أوجايت Augite ، والإيجيرين Aegirine ، والإيجيرين - أوجايت Aegirine-augite) والأمفيبول الصودي والنيفيلين وبعض المعادن الداكنة اللون، ويوضح الجدول (1) التركيب المعدني للصخور⁽¹⁴⁾.

تتميز صخور الفونولait البورفيري عن التراكايت والفونولait الناعم بظهور البلاورات الكبيرة من الفلدسبار البوتاسي (ساندين Anorthoclase وأنورثوكليز Sanidine) والنفالين Nepheline والبيروكسين القلوي (أوجايت Augite ، والإيجيرين -أوجايت Aegirine-augite) والأمفيبول الصودي وكميات بسيطة من معادن السفين Sphene والأباتايت Apatite، والإيجيرين Aegirine. أما الأرضية الناعمة (Groundmass) لصخور الفونولait البورفيري تكون تقرباً من نفس المعادن سالفة الذكر.

وتتشبه صخور الفونولait الناعم إلى حد كبير تركيب الأرضية الناعمة الفونولait البورفيري إلا أن بعض العينات تزيد فيها نسبة الإيجيرين وأكسيد الحديد، بالإضافة لظهور بلورات صغيره لمعدن الصودلاتit Sodalite في بعض العينات.

كما تكون صخور التراكايت بشكل أساسى من الفلدسبار البوتاسي ومعادن الفلدسباثويد (نفالين و صودلاتit) ونسبة من البيروكسين القلوي (الإيجيرين Aegirine) ولكن بكمية أقل من ما هو موجود في نوعي الفونولait السالفة الذكر.

نلاحظ من خلال الجدول (2)، أن صخور التراكايت Trachytes تتميز عن بقية الصخور الأخرى بمعدلات عالية نسبياً من أكسيد السليكون ($\text{SiO}_2 = 62.02\%$)، والماغنيسيوم ($\text{MgO} = 0.217\%$)، والكالسيوم ($\text{CaO} = 1.04\%$)، والتيتانيوم ($\text{TiO}_2 = 0.305\%$)، والفسفور ($\text{P}_2\text{O}_5 = 0.031\%$)، وكذلك بمعدلات منخفضة نسبياً من الأكسيد القلوية ($\text{Al}_2\text{O}_3 = 18.68\%$)، وأكسيد الألمنيوم ($\text{Na}_2\text{O} + \text{K}_2\text{O} = 12.842\%$)، ونسبة متوسطة من أكسيد الحديديك ($\text{Fe}_2\text{O}_3 = 2.87\%$).

أما صخور الفونولait البورفيري Porphyritic Phonolites فهي عكس صخور التراكايت مع بعض الاختلاف في نسب بعض الأكسيدات الكيميائية، حيث أنها تحوي على معدلات أقل نسبياً من أكسيد السليكون ($\text{SiO}_2 = 58.44\%$)، وأكسيد الحديديك ($\text{Fe}_2\text{O}_3 = 2.55\%$)، والكالسيوم ($\text{CaO} = 0.84\%$)، والفسفور ($\text{P}_2\text{O}_5 = 0.022\%$)، وكذلك بمعدلات عالية نسبياً من الأكسيدات القلوية ($\text{Al}_2\text{O}_3 = 20.38\%$)، وأكسيد الألمنيوم ($\text{Na}_2\text{O} + \text{K}_2\text{O} = 15.09\%$)، والماغنيسيوم ($\text{MgO} = 0.087\%$)، وأكسيد التيتانيوم ($\text{TiO}_2 = 0.23\%$).

تتميز صخور الفونولait الدقيق Aphanitic Phonolites بمعدلات عالية نسبياً من أكسيد الحديديك ($\text{Fe}_2\text{O}_3 = 3.14\%$)، وأكسيد المنجنيز ($\text{MnO} = 0.235\%$) مقارنة بباقي الأنواع، وبمعدلات منخفضة نسبياً من أكسيد الماغنيسيوم ($\text{MgO} = 0.013\%$)، أما باقي الأكسيدات فهي نسب وسطية مابين صخور التراكايت والфонولait البورفيري.

القابلية المغناطيسية والكتافة

نلاحظ من خلال تحليل الجدول (2) أن أكبر قابلية مغناطيسية لصخور التراكايت Aphanitic phonolite Trachyte، وبمتوسط 537×10^{-5} ، وتقل في صخور الفونولait الدقيق Porphyritic phonolite إلى 121×10^{-5} ، وفي صخور الفونولait البورفيري لتصل إلى 97×10^{-5} .

أكبر كثافة لصخور الفونولait الدقيق وتصل إلى معدل 2.89 جم/سم³، بينما كثافة التراكيات و الفونولait البورفيري فهي متساوية تقريباً وتبلغ 2.7 جم/سم³.

جدول (1) التركيب المعدني للصخور (الاشخم، 2013).

Rock type	(Mineralogy Phenocryst/microphenocryst)			groundmass
	Primary	Accessory	Secondary	
Porphyritic Phonolite	alkali feldspars (sanidine and anorthoclase), nepheline, alkali pyroxene (augite, aegirine, aegirine sodic amphibole augite), (kaersutite and arvedsonite).	sodalite, analcime, sphene, and apatite.	zeolite (natrolite), analcime and iron oxides.	alkali feldspars (sanidine and anorthoclase), nepheline, alkali pyroxene (aegirine and aegirine-augite), kaolinite, sericite and iron-oxides.
Aphanitic phonolite	alkali feldspars (sanidine and anorthoclase), sodalite, nepheline and alkali pyroxene (aegirine).	alkaline pyroxene (augite and aegirine-aegirine), apatite, sphene and sodic amphibole (mainly kaersutite).	analcime, sodic amphibole and iron oxides.	alkali feldspars (sanidine and anorthoclase), nepheline, alkali pyroxene (mainly aegirine), sodalite and iron-oxides.
Trachyte	alkali feldspars (anorthoclase and sanidine), alkali pyroxene (aegirine and aegirine-augite).	apatite and iron oxides ±quartz.	analcime, sodic amphibole and iron oxides.	alkali feldspars (anorthoclase and sanidine), alkali pyroxene (aegirine and aegirine-augite), sodic amphibole, kaolinite, sericite and iron-oxides.

جدول (2) المعاملات الإحصائية للأكسيد الكيميائية والقابلية المغناطيسية والكثافة لصخور منطقة الدراسة.

	Trachyte التراكايت		Aphanitic phonolite الفونولait الدقيق		Porphyritic phonolite الفونولait البرفيري	
	المتوسط الحسابي Mean	التبالين Variance	المتوسط الحسابي Mean	التبالين Variance	المتوسط الحسابي Mean	التبالين Variance
SiO ₂	62.02	0.051	59.05	0.194	58.44	0.424
Al ₂ O ₃	18.68	0.048	19.60	0.043	20.38	0.135
Fe ₂ O ₃	2.87	7.69E-03	3.14	2.68E-05	2.55	8.9E-05
MgO	0.217	9.16E-05	0.013	1.03E-04	0.087	1.84E-04
CaO	1.04	6.66E-05	0.92	0.018	0.84	1.49E-03
Na ₂ O	7.17	1.16E-03	9.04	0.157	9.54	2.11E-03
K ₂ O	5.66	3.46E-04	5.20	1.34E-04	5.54	3.68E-03
TiO ₂	0.305	9.28E-04	0.165	3.07E-06	0.23	4.14E-04
MnO	0.192	1.36E-04	0.235	2.28E-05	0.18	6.21E-05
P ₂ O ₅	0.031	1.66E-06	0.018	1.04E-05	0.022	1.96E-05
التأثيرية المغناطيسية [10 ⁻⁵]	537.68	0.00156	121.23	0.009722	97.32	0.02069
الكثافة	2.73	9.09E-03	2.89	2.04E-03	2.70	3.20E-03
Na ₂ O+ K ₂ O	12.842	2.14E-03	14.253	0.1612	15.09	0.01015
+ MgO+ Fe ₂ O ₃ MnO	3.282	6.59E-03	3.39136	2.581E-04	2.823	6.99E-04

النتائج والمناقشة:

تمت معالجة البيانات بالحاسوب باستخدام برنامج إحصائي SPSS (الإصدار الثامن لسنة 1989)، حيث تم الحصول على جداول إحصائية، وأشكال مختلفة توضح علاقة التركيب الكيميائي بالكثافة والقابلية المغناطيسية لصخور منطقة الدراسة.

من خلال تحليل الجدول (2) المعاملات الإحصائية للقابلية المغناطيسية والكثافة للصخور نلاحظ أن معدل القابلية المغناطيسية يزداد من صخور الفونولait البورفيري $10^{5} \times 97$ إلى صخور الفونولait الدقيق $10^{5} \times 121$ ، ليصل إلى $10^{5} \times 537$ في صخور التراكايت. ويقابل هذه الزيادة في المغناطيسية نقصان في التباين Variance من الفونولait البورفيري 0.02069 إلى الفونولait الدقيق 0.009722، ليصل إلى 0.00156 في صخور التراكايت. يرجع التباين العالي في صخور الفونولait البورفيري إلى نسيجها الصخري المتباين أو البورفيري Porphyritic texture. وأما في صخور التراكايت لها تباين Variance منخفض، وذلك لأن لها نسيج صخري دقيق.

القابلية المغناطيسية العالية لصخور التراكايت أعلى نسبياً من صخور الفونولait الناعم، وعلى الرغم من أن الأولى تحوي على أكسيد حديدي أقل من الثانية، وهذا يشير إلى أن النسبة الكبيرة من أكسيد الحديد في التراكايت توجد على هيئة معدن المجناتيت الذي له قابلية مغناطيسية عالية. بينما النسبة الكبيرة من أكسيد الحديد في الفونولait الناعم فيوجد على هيئة معادن ذات قابلية مغناطيسية منخفضة نسبياً مثل الهيماتيت والالمينايت والامفيبول والبيروكسین.

نلاحظ أيضاً أن القابلية المغناطيسية العالية لصخور التراكايت يصاحبها زيادة في نسبة أكسidi الفسفور P_2O_5 والكالسيوم CaO، وذلك بسبب أنهما يدخلان في تركيب معدن الأباتايت Apatite، والذي يرافق معدن المجناتيت في صخور التراكايت، حيث تزداد نسبة معدن الأباتايت كلما زادت نسبة معدن المجناتيت^(18,17,16,15). تباين Variance تراكيز الأكسيد السابقة الذكر عالية نسبياً في صخور الفونولait البورفيري، والتي يصاحبها أيضاً تباين عالي في القابلية المغناطيسية. إن نسيج صخور الفونولait البورفيري (المتباین) Porphyritic texture، أدى إلى تباين تركيز هذه

الأكاسيد الكيميائية. أما صخور التراكايت والفونولait الناعم لها نسيج صخري دقيق، ولذلك تباین Variance هذه الأكاسيد منخفض نسبيا.

نسبة أكسيد الألمنيوم Al_2O_3 والأكاسيد القلوية NaO_2+K_2O منخفضة نسبيا في التراكايت مقارنة بالفونولait، ولكن تقابلهم زيادة في نسبة أكسيد الحديديك Fe_2O_3 (والتمثلة في معدن المجنیتایت) في الأولى، لذلك نجد القابلية المغناطيسية عالية نسبيا لصخور التراكايت.

أعلى كثافة تتميز بها صخور الفونولait الدقيق Aphanitic phonolite، والتي تقدر بحوالي $2.89 \text{ جم}/\text{سم}^3$ مقارنة بالصخور الأخرى، ويرجع السبب أن صخور الفونولait الدقيق بها نسبة عالية من الأكاسيد الداكنة ($Fe_2O_3+MgO+MnO=3.40\%$)، والتي تدخل في تركيب المعادن الحديدية العالية الكثافة نسبيا. نلاحظ أيضا أن التباین Variance في هذه الصخور منخفض، وذلك بسبب أن تباین تركيز هذه الأكاسيد أيضا منخفض، وهذا يدل على أن هذه الأكاسيد الداكنة هي من إحدى العوامل التي تؤثر على معدل الكثافة وتباینها Variance.

لتوضيح وفهم علاقة التركيب الكيميائي بالقابلية المغناطيسية والكثافة تم حساب معامل الارتباط كما هو موضح في الجداول (5,4,3) وكذلك تم رسم الأشكال (5,4,3) التي توضح قوة تلك العلاقة.

من خلال التحليل البسيط للجداول (5,4,3) نلاحظ أن هناك علاقة طردية قوية بين القابلية المغناطيسية والكثافة في جميع أنواع الصخور الخاضعة للدراسة، حيث تتراوح قيمة معامل الارتباط من 0.6 إلى 0.9.

أن وجود هذه العلاقة القوية الطردية بين الكثافة والقابلية المغناطيسية في كل أنواع الصخور يرجع إلى أن المعادن الحديدية العالية الكثافة مثل المجناتايت والهيمناتايت والأمفيبول لها قابلية مغناطيسية عالية، وأما المعادن المنخفضة الكثافة مثل السنادين والنفيلين والبلاجيوكليز لها قابلية مغناطيسية منخفضة.

توجد علاقة عكسية قوية بين كل من أكسيد السليكون SiO_2 والصوديوم Na_2O والبوتاسيوم K_2O والقابلية المغناطيسية، حيث تتراوح قيمة معامل الارتباط من 0.5 - 0.8، وعلاقة عكسية أيضاً بين تلك الأكسيدات والكثافة، والتي تتراوح قيمة معامل الارتباط فيه ما بين 0.5 - 0.9، وهذا يرجع إلى أن هذه الأكسيدات وخاصة الفلوية تدخل في تركيب معادن الفلدسبار التي لها قابلية مغناطيسية منخفضة وذات كثافة صغيرة نسبياً. أي بمعنى أنه كلما زاد تركيز هذه الأكسيدات قلت قيمة كلاً من القابلية المغناطيسية والكثافة.

تزداد كلاً من القابلية المغناطيسية والكثافة بزيادة نسبة كلاً من أكسيد الحديد Fe_2O_3 و الماغنيسيوم MgO ، وهذا يوضح العلاقة الطردية القوية بينهم، حيث تتراوح قيمة معامل الارتباط من 0.5 + إلى 0.9+. إن هذه الأكسيدات تدخل في تركيب المعادن الحديدية وخاصة المغناطيسية منها، والتي لها كثافة وقابلية مغناطيسية عاليتين، ولذلك نلاحظ وجود مثل هذه العلاقة بين تلك الأكسيدات والكثافة والقابلية المغناطيسية.

تتأثر كلاً من القابلية المغناطيسية والكثافة أيضاً بزيادة نسبة كلاً من أكسيد الفسفور P_2O_5 والكلاسيوم CaO ، حيث تتراوح قيمة معامل الارتباط من 0.5 + إلى 0.9+. أكسيد الفسفور وجذء من أكسيد الكلاسيوم يدخلان في تركيب معادن الأباتايت Apatite، ويجب الإشارة هنا إلى أن معادن

الأباتايت له تأثير غير مباشر على القابلية المغناطيسية والكتافة، حيث أن الأباتايت له قابلية مغناطيسية وكثافة منخفضتين، ولكن معden الأباتايت يتراافق (يتواجد) مع المعادن الحديدية وخاصة المغناطيسية منها مثل المجناتايت في الصخور النارية وخاصة القلوية منها، ولهذا السبب نجد انه كلما زادت نسبة كل من أكسيد الفسفور P_2O_5 والكالسيوم CaO تزداد قيم القابلية المغناطيسية والكتافة. أن وجود العلاقة القوية بين التركيب الكيميائي والخواص البتروفيزيائية (القابلية المغناطيسية والكتافة) للصخور الثلاثة يمكن أن تساعد في تصنيف (أو تقسيم أو تمييز) صخور التراكايت والفنولait في منطقة الدراسة، وذلك باستعمال الأشكال (4,3,2)، كما تساعد وجود هذه العلاقة القوية أيضا في التنبؤ expected (توقع أو معرفة) بنسب الأكسيد الكيميائية من خلال قيمة الكثافة أو القابلية المغناطيسية، وذلك باستعمال طريقة تحليل الانحدار Regression analysis، حيث تكون نتيجة هذا التحليل هو معادلة تربط بين الخواص المدروسة وتسمى معادلة الانحدار Regression equation، والتي من خلالها يمكن معرفة (أو التنبؤ أو توقع) بقيمة إحدى الخواص بمعلومية الأخرى وبنسبة احتمالية معينة^(21,20,19). تم حساب معادلات الانحدار لبعض الأكسيد الكيميائية التي لها علاقة قوية (طردية أو عكسية) بالكتافة والقابلية المغناطيسية باحتمالية 95% جدول (6).

جدول (3): معامل الارتباط بين الأكسيدات الكيميائية و الخواص البتروفيزيائية (الكثافة والتاثيرية المغناطيسية) في صخور التراكيت بمنطقة غريان

	SiO ₂	Al ₂ O ₃	Fe ₂ O ₃	MgO	CaO	Na ₂ O	K ₂ O	TiO ₂	MnO	P ₂ O ₅	Mag.Supt*	Den**.
SiO ₂	1.0	0.8	-0.7	-0.7	-0.9	0.9	0.7	0.1	0.5	-0.6	-0.7	-0.9
Al ₂ O ₃	0.8	1.0	-0.8	-0.7	-0.7	0.7	0.8	-0.1	0.9	-0.9	-0.9	-0.9
Fe ₂ O ₃	-0.7	-0.8	1.0	0.4	0.8	-0.5	-0.9	-0.4	-0.9	0.8	0.9	0.9
MgO	-0.7	-0.7	0.4	1.0	0.4	-0.8	-0.3	0.5	-0.5	0.6	0.7	0.7
CaO	-0.9	-0.7	0.8	0.4	1.0	-0.7	-0.8	-0.4	-0.6	0.6	0.7	0.8
Na ₂ O	0.9	0.7	-0.5	-0.8	-0.7	1.0	0.5	-0.2	0.3	-0.5	-0.6	-0.8
K ₂ O	0.7	0.8	-0.9	-0.3	-0.8	0.5	1.0	0.5	0.9	-0.8	-0.8	-0.9
TiO ₂	0.1	-0.1	-0.4	0.5	-0.4	-0.2	0.5	1.0	0.2	0.1	-0.1	-0.1
MnO	0.5	0.9	-0.9	-0.5	-0.6	0.3	0.9	0.2	1.0	-0.9	-0.9	-0.8
P ₂ O ₅	-0.6	-0.9	0.8	0.6	0.6	-0.5	-0.8	0.1	-0.9	1.0	0.9	0.8
Mag_Supt*	-0.7	-0.9	0.9	0.7	0.7	-0.6	-0.8	-0.1	-0.9	0.9	1.0	0.9
Den*.	-0.9	-0.9	0.9	0.7	0.8	-0.8	-0.9	-0.1	-0.8	0.8	0.9	1.0

; الكثافة ; Den**. Density, g/cm³ التاثيرية المغناطيسية Mag.Supt*- Magnetic Susceptibility, SI, x10⁻⁵

جدول (4): معامل الارتباط بين الاكسيدات الكيميائية و الخواص البتروفيزيائية (الكثافة والتأثيرية المغناطيسية) في صخور الفونولait بمنطقة غريان

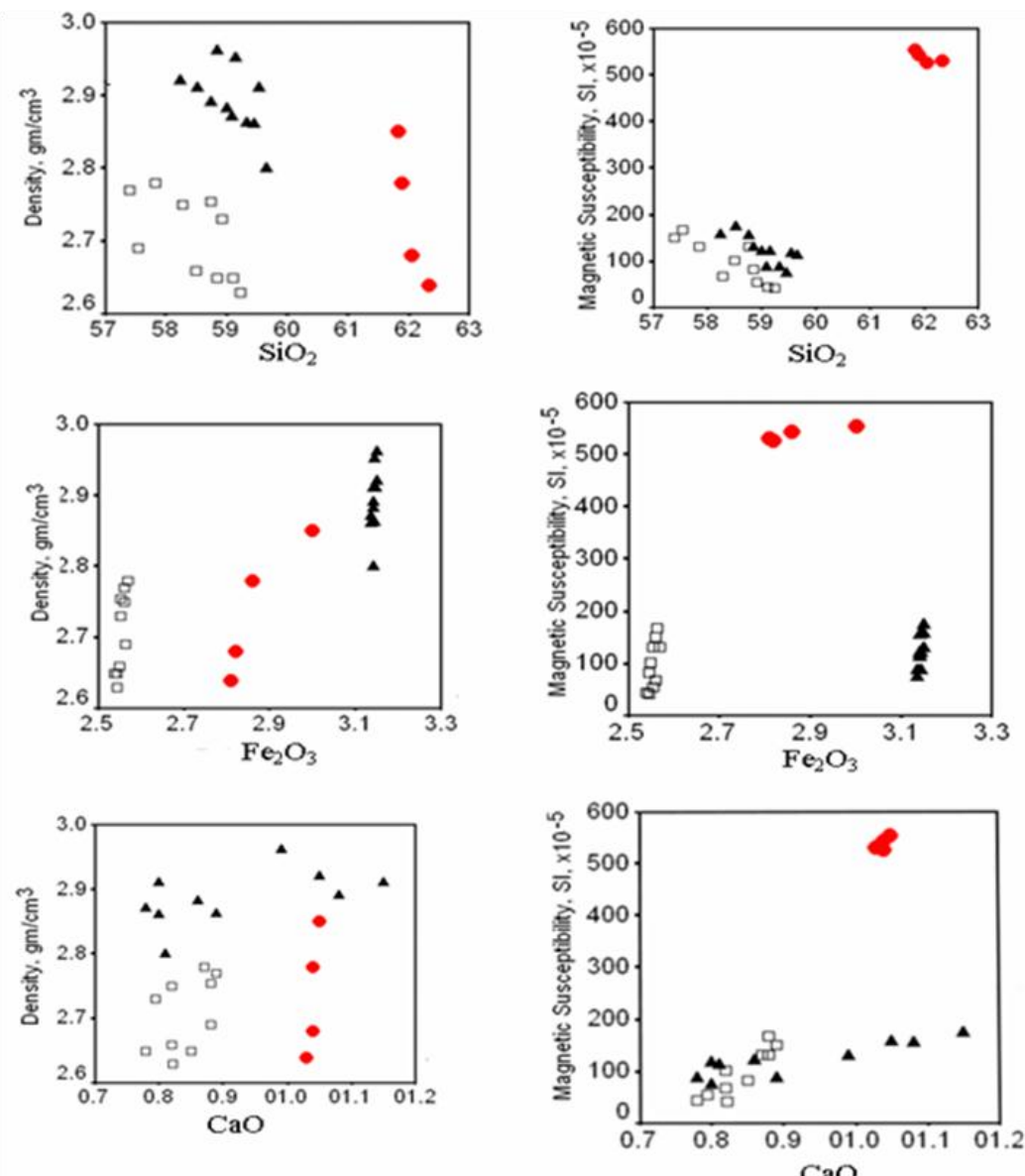
	SiO ₂	Al ₂ O ₃	Fe ₂ O ₃	MgO	CaO	Na ₂ O	K ₂ O	TiO ₂	MnO	P ₂ O ₅	Mag.Supt*	Den**.
SiO ₂	1.0	0.6	-0.5	-0.5	-0.5	0.4	0.5	-0.3	-0.1	-0.3	-0.7	-0.5
Al ₂ O ₃	0.6	1.0	-0.3	-0.7	-0.4	0.3	0.4	-0.1	-0.2	-0.3	-0.5	-0.5
Fe ₂ O ₃	-0.5	-0.3	1.0	0.6	0.6	-0.5	-0.4	0.4	0.2	0.5	0.6	0.5
MgO	-0.5	-0.7	0.6	1.0	0.5	-0.5	-0.3	0.2	0.2	0.5	0.5	0.5
CaO	-0.5	-0.4	0.6	0.5	1.0	-0.6	-0.3	0.3	0.1	0.5	0.7	0.5
Na ₂ O	0.4	0.3	-0.5	-0.5	-0.6	1.0	0.3	-0.3	-0.1	-0.6	-0.5	-0.5
K ₂ O	0.5	0.4	-0.5	-0.3	-0.3	0.3	1.0	-0.2	-0.4	-0.3	-0.5	-0.5
TiO ₂	-0.3	-0.1	0.4	0.2	0.3	-0.3	-0.2	1.0	-0.1	0.1	0.2	0.2
MnO	-0.1	-0.2	0.2	0.2	0.1	-0.1	-0.4	-0.1	1.0	0.1	0.1	0.1
P ₂ O ₅	-0.3	-0.3	0.5	0.5	0.5	-0.6	-0.3	0.1	0.1	1.0	0.5	0.6
Mag_Supt*	-0.7	-0.5	0.6	0.5	0.7	-0.5	-0.5	0.2	0.1	0.5	1.0	0.6
Den**.	-0.5	-0.5	0.5	0.5	0.5	-0.5	-0.5	0.2	0.1	0.6	0.6	1.0

; الكثافة ; Den**. Density, g/cm³ التأثيرية المغناطيسية Mag.Supt*- Magnetic Susceptibility, SI, x10⁻⁵

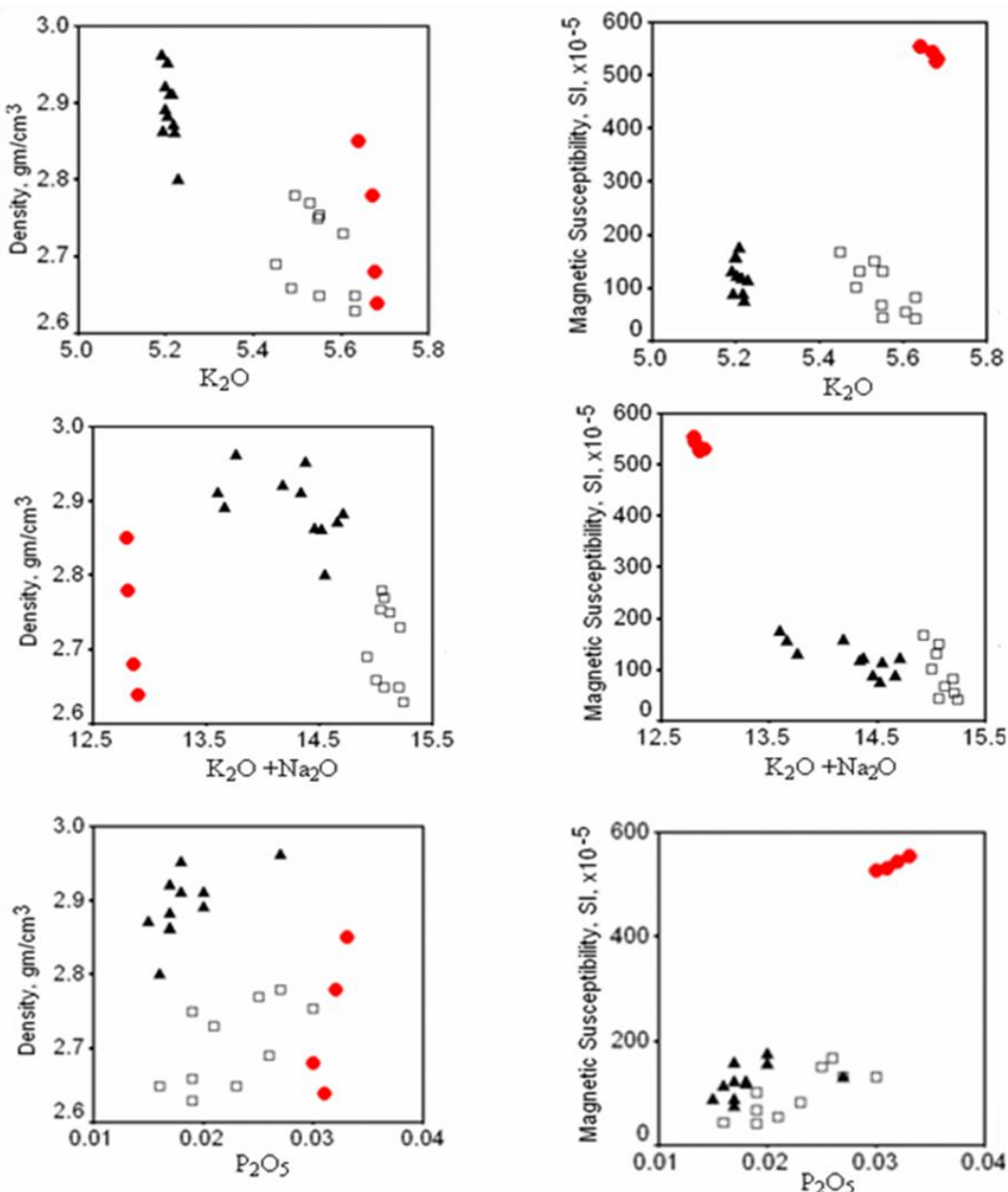
جدول (5): معامل الارتباط بين الأكسيدات الكيميائية و الخواص البتروفيزيائية (الكثافة والتأثيرية المغناطيسية) في صخور الفونولايت البورفيري بمنطقة غريان

	SiO ₂	Al ₂ O ₃	Fe ₂ O ₃	MgO	CaO	Na ₂ O	K ₂ O	TiO ₂	MnO	P ₂ O ₅	Mag.Supt*	Den**.
SiO ₂	1.0	-0.2	-0.6	-0.5	-0.6	0.4	0.6	0.8	-0.5	-0.4	-0.7	-0.6
Al ₂ O ₃	-0.2	1.0	0.4	0.2	0.5	0.1	-0.1	-0.1	0.4	0.5	0.2	0.4
Fe ₂ O ₃	-0.6	0.4	1.0	0.5	0.3	-0.2	-0.5	-0.6	0.4	0.5	0.7	0.7
MgO	-0.5	0.2	0.5	1.0	0.4	-0.4	-0.5	-0.4	0.3	0.4	0.6	0.5
CaO	-0.6	0.5	0.3	0.4	1.0	-0.3	-0.2	-0.5	0.3	0.6	0.7	0.5
Na ₂ O	0.4	0.01	-0.2	-0.4	-0.3	1.0	0.5	0.5	-0.2	-0.3	-0.6	-0.5
K ₂ O	0.6	-0.1	-0.5	-0.5	-0.2	0.5	1.0	0.6	-0.4	-0.2	-0.5	-0.5
TiO ₂	0.8	-0.1	-0.6	-0.4	-0.5	0.5	0.6	1.0	-0.4	-0.4	-0.8	-0.5
MnO	-0.5	0.41	0.4	0.3	0.3	-0.2	-0.4	-0.4	1.0	0.2	0.3	0.6
P ₂ O ₅	-0.4	0.5	0.5	0.4	0.6	-0.3	-0.2	-0.4	0.2	1.0	0.6	0.5
Mag_Supt*	-0.7	0.2	0.7	0.6	0.7	-0.6	-0.5	-0.8	0.3	0.6	1.0	0.6
Den**.	-0.6	0.4	0.7	0.5	0.5	-0.5	-0.5	-0.5	0.6	0.5	0.6	1.0

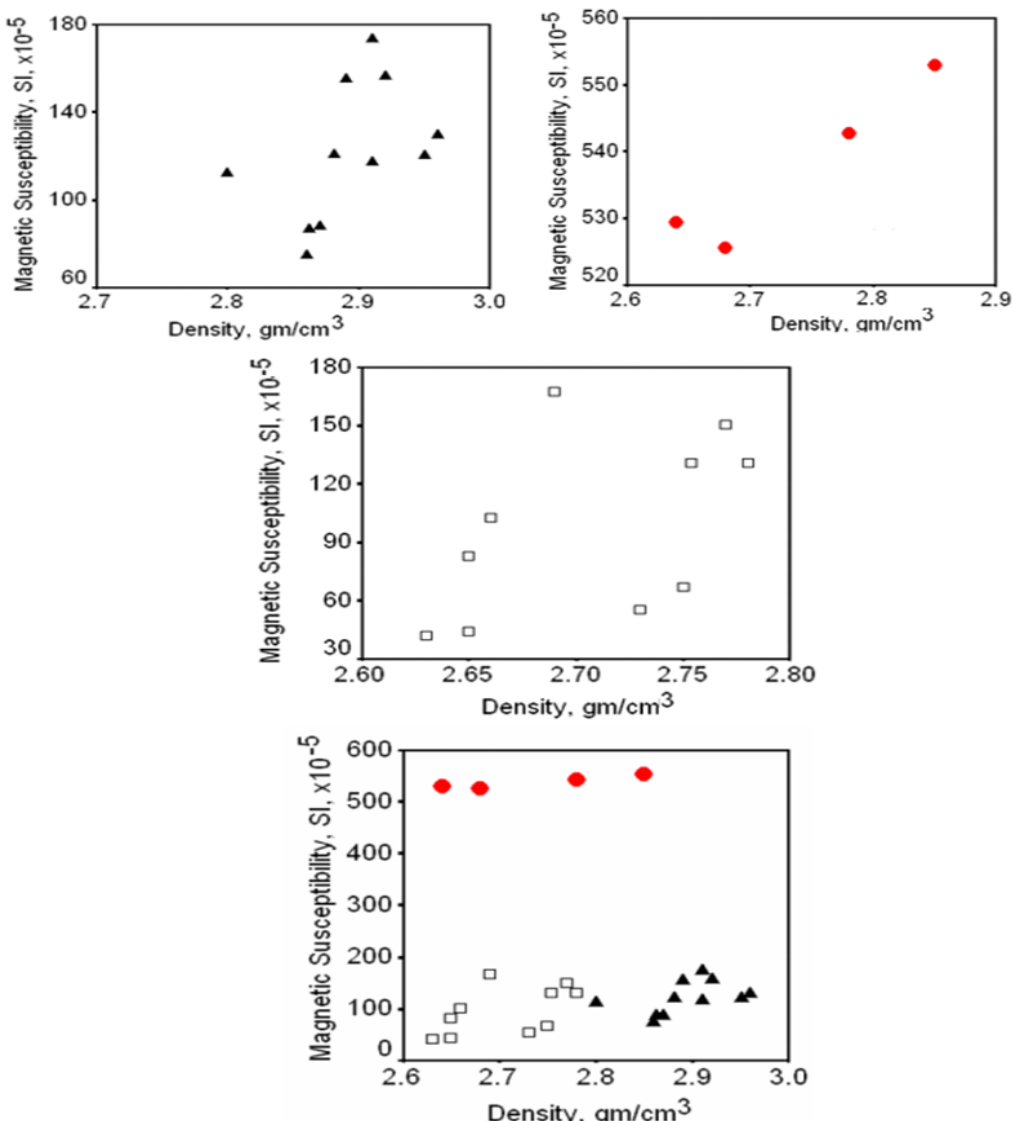
; الكثافة ; Den**. Density, g/cm³ التأثيرية المغناطيسية Mag.Supt*- Magnetic Susceptibility, SI, x10⁻⁵



شكل(2) العلاقة بين أكسيدات (CaO , Fe_2O_3 , SiO_2) والقابلية المغناطيسية والكتافه في صخور التراكيت \square المغنتولابيت البورفوري \blacktriangle الغرونولابيت الدقيق في جبل كاف أبو غنون بم المنطقة عربان في شمال غرب ليبيا ●



شكل: (3) العلاقة بين أكسيد (O), K_2O , $\text{K}_2\text{O} + \text{Na}_2\text{O}$, P_2O_5 ، والقابلية المغناطيسية و الكثافة في صخور التراكيت ▲ الفونولait الدقيق في جبل كاف أبو عوش بمجموعة غربان في شمال غرب ليبيا ● المونولait المورفوري □ الصونولait المورفوري



شكل: (4) العلاقة بين القابلية المغناطيسية والكتافة في صخور (●) الفونولايت الدقيق ، (▲) التراكايت و (□) الفونولايت الدورفيري في جبل كاف أبو غنوش بمنطقة غربان في شمال غرب ليبيا

جدول (6): يوضح بعض معدلات الانحدار للكثافة والقابلية المغناطيسية وبعض الأكسيدات الكيميائية لصخور منطقة الدراسة.

Trachyte التراكايت	Aphanitic phonolite الفونولايت الدقيق	Porphyritic phonolite الفونولايت البرفيري
$\text{Den} = -1.19 + 0.00730 \text{ K}$	$\text{Den11} = 2.81 + 0.000664 \text{ K}$	$\text{Den10} = 2.65 + 0.000621 \text{ K}$
$\text{SiO}_2 = 69.5 - 0.0139 \text{ K}$ $\text{SiO}_2 = 68.0 - 2.18 \text{ Den}$	$\text{SiO}_2 = 60.4 - 0.0107 \text{ K}$ $\text{SiO}_2 = 74.3 - 5.29 \text{ Den}$	$\text{SiO}_2 = 59.6 - 0.0121 \text{ K}$ $\text{SiO}_2 = 77.6 - 7.09 \text{ Den}$
$\text{Fe}_2\text{O}_3 = -0.60 + 0.00645 \text{ K}$ $\text{Fe}_2\text{O}_3 = 0.572 + 0.841 \text{ Den}$	$\text{Fe}_2\text{O}_3 = 3.13 + 0.000112 \text{ K}$ $\text{Fe}_2\text{O}_3 = 2.93 + 0.0721 \text{ Den}$	$\text{Fe}_2\text{O}_3 = 2.54 + 0.000146 \text{ K}$ $\text{Fe}_2\text{O}_3 = 2.19 + 0.135 \text{ Den}$
$\text{CaO} = 0.771 + 0.000501 \text{ K}$ $\text{CaO} = 0.829 + 0.0770 \text{ Den}$	$\text{CaO} = 0.468 + 0.00364 \text{ K}$ $\text{CaO} = -2.16 + 1.06 \text{ Den}$	$\text{CaO} = 0.767 + 0.000761 \text{ K}$ $\text{CaO} = -0.079 + 0.340 \text{ Den}$
$\text{P}_2\text{O}_5 = -0.023 + 0.000101 \text{ K}$ $\text{P}_2\text{O}_5 = -0.0011 + 0.0119 \text{ Den}$	$\text{P}_2\text{O}_5 = 0.0133 + 0.000042 \text{ K}$ $\text{P}_2\text{O}_5 = -0.114 + 0.0458 \text{ Den}$	$\text{P}_2\text{O}_5 = 0.0149 + 0.000078 \text{ K}$ $\text{P}_2\text{O}_5 = -0.105 + 0.0471 \text{ Den}$
$\text{K}_2\text{O} = 6.39 - 0.00134 \text{ K}$ $\text{K}_2\text{O} = 6.15 - 0.176 \text{ Den}$	$\text{K}_2\text{O} = 5.22 - 0.000118 \text{ K}$ $\text{K}_2\text{O} = 5.69 - 0.167 \text{ Den}$	$\text{K}_2\text{O} = 5.64 - 0.000965 \text{ K}$ $\text{K}_2\text{O} = 6.51 - 0.356 \text{ Den}$
$\text{Na}_2\text{O} = 8.13 - 0.00178 \text{ K}$ $\text{Na}_2\text{O} = 7.96 - 0.288 \text{ Den}$	$\text{Na}_2\text{O} = 10.2 - 0.00984 \text{ K}$ $\text{Na}_2\text{O} = 21.8 - 4.41 \text{ Den}$	$\text{Na}_2\text{O} = 9.61 - 0.00070 \text{ K}$ $\text{Na}_2\text{O} = 9.74 - 0.073 \text{ Den}$

- الكثافة -Den

- القابلية المغناطيسية -K

الاستنتاجات

- 1- تزداد القابلية المغناطيسية من صخور الفونولait البورفيري 97×10^{-5} إلى صخور الفونولait الدقيق 121×10^{-5} ، ليصل إلى 537×10^{-5} في صخور التراكيت.
- 2- يقابل الزيادة في المغناطيسية نقصان في التباين Variance من الفونولait البورفيري إلى الفونولait الدقيق 0.009722 ، ليصل إلى 0.00156 في صخور التراكيت. يرجع التباين العالي في صخور الفونولait البورفيري إلى نسيجها الصخري المتباين أو البورفيري Porphyritic texture. وأما في صخور التراكيت لها تباين Variance منخفض، وذلك لأن لها نسيج صخري دقيق.
- 3- أعلى كثافة تتميز بها صخور الفونولait الدقيق Aphanitic phonolite، والتي تقدر بحوالي $2.89 \text{ جم}/\text{سم}^3$ مقارنة بالصخور الأخرى.
- 4- توجد علاقة عكسية قوية بين الأكاسيد (السليلكون SiO_2 والصوديوم Na_2O والبوتاسيوم K_2O) وكل من القابلية المغناطيسية والكثافة.
- 5- توجد علاقة طردية قوية بين الأكاسيد (الحديديك Fe_2O_3 والماغنيسيوم MgO والفسفور P_2O_5 والكالسيوم CaO) وكل من القابلية المغناطيسية والكثافة.
- 6- توجد علاقة طردية قوية بين القابلية المغناطيسية والكثافة في جميع أنواع الصخور.
- 7- يمكن استعمال العلاقة بين الكثافة والقابلية المغناطيسية في تصنيف صخور الفونولait والتراكيت في منطقة الدراسة.

References

- 1-Lowrie, W., Fundamentals of Geophysics, Second Edition, Cambridge, Cambridge University Press, 2007.
- 2-Campbell, W.H, Introduction to Geomagnetic Fields, Cambridge, Cambridge University Press, 2003.
- 3-Dunlop, D. J. and Özdemir, Ö., Rock Magnetism: Fundamentals and Frontiers, Cambridge, Cambridge University Press, 1997.
- 4-Bleil, V. and Petersen, N., Magnetic properties of natural minerals; Paramagnetism. In: Landolt-Boernstein, Numerical data and functional relationships in science and technology, Group V, vol. 1, subvol. b, 312-320. Springer Verlag Berlin, 1982.
- 5-Dortman, N.B., Physical properties of rocks and mineral deposits (in Russian). Nedra, Moscow, 1984.
- 6- Sharma P.V., Geophysical Methods in Geology. Second Edition. Elsevier Science Publishing Co, In. 1986.
- 7-Telford, W. M., Geldart, L. P., Sheriff, R. E. and Keys, D. A., Applied Geophysics. Cambridge University Press, Cambridge, 1976.
- 8-Carmichael, R. S., Magnetic properties of minerals and rocks: CRC Handbook of Physical Properties of Rocks, 1982, Vol. 2.
- 9-Opdyke, N. D. and Channell, J. E. T., Magnetic Stratigraphy, San Diego, CA: Academic Press, 1996.

- 10- Aydin A., Ferr'e E. C., and Aslan Z., The magnetic susceptibility of granitic rocks as a proxy for geochemical composition: Example from the Saruhan granitoids, NE Turkey; Tectonophysics. 2007, Vol. 441, P. 85–95.
- 11-Gray, C., Structure and origin of the Gharyan domes, In: Gray, C. (ed), Symposium on the geology of Libya, University of Libya, Tripoli, 1971, P. 307-319.
- 12-El Hinnawy, M. and Cheshitiv, G., Geological map of Libya, (1:250,000) Sheet: Tripoli (NI 33-13)., Explanatory booklet for the Geological Map of Libya., Industrial Research Centre, Tripoli, 1975.
- 13-Busrewil, M.T. and Wadsworth, W.J., Tertiary-Quaternary alkaline-subalkaline magmatism in Gharyan Area – field aspects and petrography, J.Petrol.Res., 1996, Vol. 8, P. 13-23
- 14-Alashkham E. Y., *Petrology Of Kaf Abu Ghannoush Trachytes And Phonolites, Gharyan Area, NW Libya. M. Sc. Thesis, Geology Department, Tripoli University, 2013, 99 p.*
- 15.Jensen M., Bateman A. M., Economic Mineral Deposits (3erd ed), New York, John Wiley & Sons, 1979.
16. Beus A.A and Grigorian S. V., Geochemical Exploration Methods For Mineral Deposits, Applied Publishing LTD, USA, 1977.

- 17.Kajdan A.A. Principles of prediction and exploration for Mineral Deposits, Nedra, Moscow, 1985.
- 18- Smirnov, V., Geology of mineral deposits. Nedra. Moscow, 1982.
- 19-Davis J.C. Statistics and data analysis in Geology, Third Edition, Wiley & Sons , Inc, 2002.
- 20-Borradaile, G. J., Statistics of Earth Science Data. New York, Springer, 2003.
- 21-Koch G.S. and Link R.F, Statistical analysis of geological data - Dover, Inc., New York, 2002.